## 湖岸堤への覆土工による湖岸の環境改善と覆土の安定性

字 多 高 明\* • 小 菅 晋\*\*・岡 村 和 男\*\*\* 本 田 哲 也\*\*\*\*・木 内 秀 規\*\*\*\*\*

## 1. まえがき

近年、人々の生活基盤を取り巻く環境の悪化が多くの 面より危惧され, 環境, 特に自然環境の保護を十分行う べきとの声が高まっている。河川事業もこうした流れの 中にあり、従来のように治水のみ重視する方法はもはや 時代遅れと言わざるを得ず、治水・利水と自然環境とを 同じウエイトで考慮すべき状況にある。このような状況 下で、広い水面を持つ湖について考えると、例えば霞ヶ 浦では水資源の確保のために湖岸に沿ってコンクリート 製の湖岸堤がほぼ全周にわたって構築された結果、湖岸 水際の生態系の生息にとって最も重要な部分が人工湖岸 に覆われて生息状況が低下し、そのことが湖の水質環境 にも悪影響をもたらしたことは否めない。このような現 状を考えたとき、コンクリート製の湖岸堤の上に覆土を 行い, それにより植生の繁茂を促すと同時に, 水際線は 緩い勾配の砂浜としてヨシなどの水生植生の繁茂を促す ことができれば、失われた湖の自然環境の回復に役立つ と考えられる。

この場合検討を要するのは, 覆土は既設の湖岸堤の沖 側で行われるため、従来の自然湖浜と比較してその前面 の水深が大きくなることにより、風波の作用がより厳し くなることである。このことは何らかの方法により波浪 を減衰させなければならず、しかも覆土の流出を守るた め閉鎖性の湖域を造ればただちに水質の悪化を招き、ア オコの発生を見ることになる。 もう一つの問題は、 霞ヶ 浦では水資源の調節のために湖水位が波高のオーダーと 比較して大きく変化することである。水位の上昇は覆土 への波浪の作用を助長し、覆土の安定性の低下を招く可 能性がある. 本研究では、霞ヶ浦の土浦近傍に位置する 大岩田地区に施工された湖岸堤への覆土工の実例を通じ てこのような問題について考察する。

# 古川組(株) 工事課

#### 2. 観測地域の概要

観測地域のある霞ヶ浦(西浦)は面積 172 km²の湖であ る、この湖はもともとは汽水湖であったが、現在は下流 の常陸川水門により塩水の侵入が防止されている。湖全 体は浅く, 平均水深は約4m, 最大水深は約7mである。 本研究の観測対象地区は、図-1に示すように霞ヶ浦西 部の大岩田地区である。この地区は東西に約19kmの湖 域の西端に位置するから、東風によって発達する風波の 作用を強く受ける、霞ヶ浦では基準標高として Y.P.が使 われている。ここに、Y.P.±0 m は T.P.+0.84 m に相当 し、平水位は Y.P.+1.0 m に位置する。

## 3. 湖岸堤への覆土と観測の概要

図-2は1995年3月に行われた地形測量の結果を示 す。観測区域の南側には花室川が流入しており、この区



図-1 霞ヶ浦における観測区域と湖心観測塔の位置

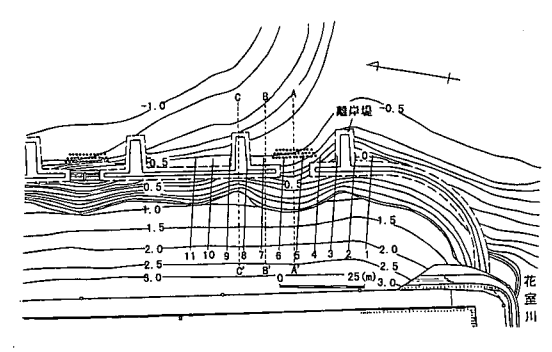


図-2 霞ヶ浦大岩田地区における覆土後の地形

<sup>•</sup> 正会員 工博 建設省土木研究所 河川管理総括研究官

<sup>\*\*</sup> 正会員 工博 東海大学助教授 海洋学部海洋土木工学科

建設省関東地方建設局間ヶ浦工事事務所 調査課

車両十木(株) ブロック爪遊部

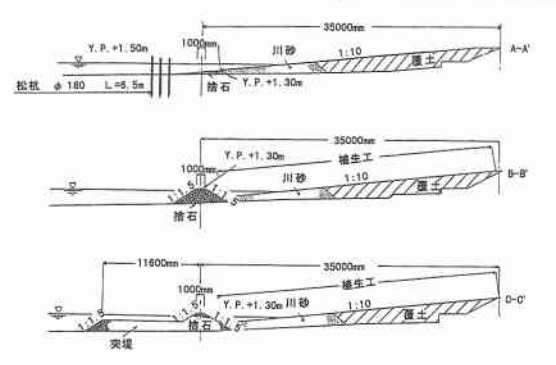


図-3 覆土工と離岸堤の代表断面

域一帯はコンクリート製の湖岸堤であったが、その前面で覆土が行われた。覆土ののり面勾配は 1/10 の一様勾配であり、例えば図ー2 の測線 A-A′、B-B′、C-C′代表断面形を図ー3 に示すが、T.P.+1.3 m以高では土が、またそれより沖側では波による土の流出を防止するために川砂が投入された。そして覆土上の植生の繁茂を助長するため、覆土上では柳枝工が行われた。また、沖合には図ー2、3 に示すように離岸堤が設置された。離岸堤の天端高はY.P.+1.3 m、天端幅は 1.0 m である。また離岸堤の沖側には逆 T字型の天端高 Y.P.+1.0 m の潜堤が造られた。工事は 1993 年 2 月 26 日~1993 年 11 月 17 日に行われた。

土砂の投入後、波浪の作用により汀線は沿岸方向に波形となった。これは図-2に示したように離岸堤が開口部を持つこと、またこの離岸堤は沿岸方向に一様な幅を持たず、30 m 間隔に逆 T 字型で設置してあり、その部分では特に消波効果が高いためである。そして離岸堤の背後では、舌状砂州の発達が助長されていた。本研究では特に図-2に示す東西 18 m、南北 50 m の範囲について1995 年 9 月 23 日に詳細観測を実施した。観測項目は、①沿岸方向 5 m、岸沖方向に 2 m ピッチでの深浅測量、②高水位時の痕跡水位、③浜崖の位置とその高さ、④湖底の底質調査、⑤植生状況調査、⑥写真撮影などである。図-2には測線配置を示す。測線は南側より No. I~No. 11 の順に並んでいる。なお、浜崖と痕跡水位の調査を行ったが、5 m 間隔では測定の精度が低いため、沿岸方向に 2.5 m と測線間隔を狭めて調査した。

## 4. 写真による現地状況の観察

写真一1 は湖岸堤に覆土がなされた地区の北側に隣接する従来型護岸区間の状況である。写真に示すように、堤防ののり面はコンクリートブロックであり、その湖側にはコンクリートテラス、および写真には見えないが、テラスの前面には矢板が打ってある。風波はこの直立の矢板護岸で反射されるため、コンクリートテラスの上面



写真-1 霞ヶ浦大岩田地区における従来の湖岸堤



写真-2 離岸堤の開口部の砂浜とその両側の植生帯

には越波した水がたまっており、また矢板護岸の前面は 反射波により乱れた波面となっていた。このような状況 では水際付近の多様な生態系が失われたままであり、湖 の水質環境にも悪影響をもたらす。そこで既設の護岸の 上に勾配 1/10 で土砂を盛る覆土が行われた。写真一2 は 覆土の行われた区間の現地状況である。 覆土の沖側には 風波による土砂の流出を防止するための捨石による離岸 堤が造られている(図-2参照).写真-1の状態と比較し て、環境条件が大きく改善されたことが分かる。沖合か らの風波は離岸堤の消波効果により多くのエネルギーを 失い、また緩勾配の砂浜をなだらかにはいあがるため、 写真-1のような越波は起こらない。写真-2の左側上部 には離岸堤の一部が見えているが、この離岸堤は幅5m の開口部を有する。このため開口部からの侵入波は同心 円状に広がり、 汀線に到達する。 開口部の存在は波浪の 汀線への侵入を許すから, 土砂の流出防止のためには過 度なエネルギーの侵入は防止する必要がある。しかし同 時に波浪のエネルギーが低すぎると,水質の低下を招き, 霞ヶ浦で問題視されているアオコの発生を助長する。こ のことから、離岸堤の天端高と開口幅については十分な 検討が必要とされる。写真-2では前方にマコモを中心 とする密な植生群が見られるが、これはその沖にある離 岸堤の消波効果が高いことに起因している。一方、写真 中央部では沖合に孤立したマコモの群落はあるものの, 汀線付近は波の作用が強いため植生は見られない。さら に離岸堤の開口部の北側でも植生群の発達が見られた。

#### 5. 湖浜地形変化

#### 5.1 湖浜の地形特性と植生群落

図-4には詳細観測により得られた深浅測量の結果と 水位痕跡を示す。離岸堤の天端高は Y.P.+1.3 m であ り湖の平均水面 (Y.P.+1.0 m) より 0.3 m 高い、観測区 域のほぼ中央部には幅約12.5mの開口部があり、そこ から波浪が侵入する条件にある。離岸堤の岸側の地形特 性として, 離岸堤の開口部では全体に等深線がほぼ同心 円状となり, 逆 T 字型の部分の岸側では消波効果が著し いため舌状砂州が著しく発達している。また、離岸堤の 開口部を通る中心線を引いた時、例えば 0.6 m の等深線 の形状はこの中心線に関して左右対称ではなく、等深線 の最も湾入する点は明らかに北側にずれている。このこ とは,卓越波の入射方向が開口部の中心線方向ではなく, これより時計回りの方向に傾いていることを示してい る、いま、図示するように、等深線の最湾入点と開口部 の中心点とを結ぶ直線PQを引くと、その方向はE9S となる。この方向角は図-1において大岩田地区より東 側に最も長い吹送距離となる方向と一致している。

図-4には各測線ごとに基準グイより沖向き距離を測定することにより定めた植生群落の分布も示す。観察されたのは主としてマコモ群落とやなぎたでの群落である。一見して明らかなように、逆T字型の離岸堤の岸側の波浪の静穏な場所で植生群落の発達がよい。離岸堤の開口部の中央よりやや北側にも一部マコモ群落があるが、その範囲は狭い。また、やなぎたでの群落も波浪の作用の弱い舌状砂州部分に見られ、しかもほぼY.P.-0.2 m の等深線より岸側に限られている。やなぎたでは一年草であり、日当たりのよい水辺や湿地、または水中に生える(奥山、1974)が、これも波浪条件との対応が良い。さらに図-4に示す水位痕跡によれば最も高い所でY.P.+1.6 m まで水位が上昇したことが分かる。

図-5には代表3断面の湖浜形状と植生群落の分布を示す.断面としては図-2に示したように,南側の舌状砂州の頂部を通る測線No.2,離岸堤の開口部付近の測線No.6,北側の舌状砂州の頂部を通る測線No.9を選んだ.それぞれの測線においては,実測の湖浜断面と推定初期断面形を示すとともに,植生の区分と概略の植生の高さを示した。初期断面形は,①初期湖浜は一様勾配で造られたこと,②波の作用の及ばない十分標高の高い場所と,逆に離岸堤近傍の波の作用下でも湖底地形変化の生じない場所では初期地形が残されていると考えられること,の2点より十分標高の高い場所の湖浜形状と湖底

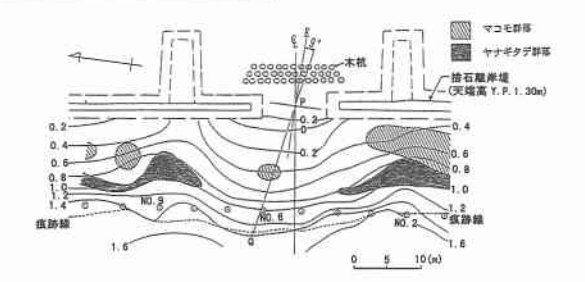


図-4 観測域の深浅図(1995年9月23日測定)と植生群落 の平面分布

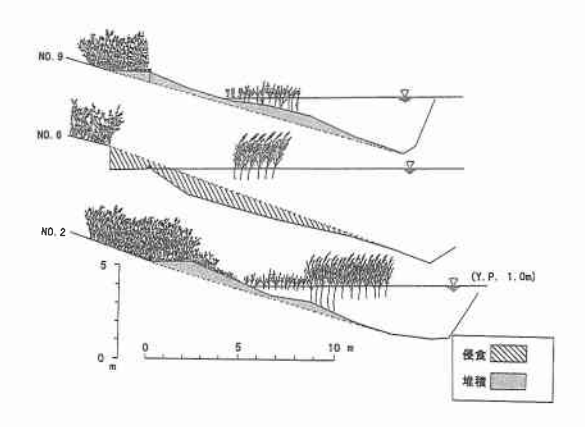


図-5 測線 No. 2, 6, 9 に沿う湖浜縦断面形と植生群落

下の断面形とを直線で近似して定めた。

まず、開口部付近の測線 No.6 では、高さ 28 cm の浜崖が形成され、ここで陸生の植生群落は途切れている。沖合には一部マコモの小さな群落があるが、この断面では大きく侵食されている。一方、測線 No.2 では前浜を中心として最大約 66 cm 厚で土砂が堆積しており、その上に植生群落が繁茂している。開口部を挟んで対照的な位置にある測線 No.9 でも同様な特徴が見られるが、ここでは前浜での土砂堆積厚 53 cm に対して、沖合の水深 95 cm での堆積厚が 67 cm と大きい。すなわち、北側の方が土砂の堆積が著しい傾向がある。これは、既に述べたように、離岸堤の開口部の中心線に対して卓越波の入射方向が時計回りの方向に傾いているため、漂砂の下手側である北側に開口部からの侵食土砂が多く運ばれ堆積したためと考えられる。

#### 5.2 高水位時における波浪による覆土の流出

図一6には観測域での汀線、浜崖の形成範囲と浜崖の高さの沿岸分布、高水位痕跡線を併せて示した。浜崖は開口部にのみ見られるが、その高さの分布形は開口部の中心線に関して南北非対称であり、北側で最も高い浜崖が形成されている。そしてその位置は汀線が最も後退している部分とよい対応を示す。一方、水位痕跡線は汀線

とほぼ平行であって,開口部で最も陸側に入り込んでい る

以上に述べた侵食の原因について、図-1に位置を示 す湖心観測塔の気象データをもとに検討した。湖浜の侵 食については、浜崖断面のノッチの形成状況や湖岸に堆 積した植生などの浮遊物の新鮮度から判断して, 侵食後 あまり時間が経過していないことが明らかであったこ と、また、9月23日の観測に先立つ9月17日には台風 12号が来襲したことから、9月17日以降の観測データ に着目し、風向・風速と水位の経時変化を図-7のように とりまとめた。これによると、霞ヶ浦の水位は9月17日 の Y.P.約+1.2 m より急上昇し、9月18日15時には+ 1.67 m に達したが、その後は階段状の変化を示しつつな だらかに低下した。この階段状の水位変化は霞ヶ浦の下 流にある常陸川水門において退潮時に水門が開けられ、 上げ潮時に閉じるという水門操作によるものである。一 方, 風速データは台風通過時に最大風速 11 m/s が観測 され、その後日周期を繰り返しつつ次第に風速は低下し た。また風向については、風波の発達に寄与しうる成分 の発生状況を取り出してある。これによると、台風時は 陸風でこの地区での風波の発達に無関係であったが、そ の後、ESE~ENE 方向の風が毎日の高風速とほぼ同位相 で発生している。ただし図-1に示したように、大岩田地 区で高波浪を引き起こす風向はEまたはESE方向で あって, ENE 方向は吹送距離が短く風波は高くないこと

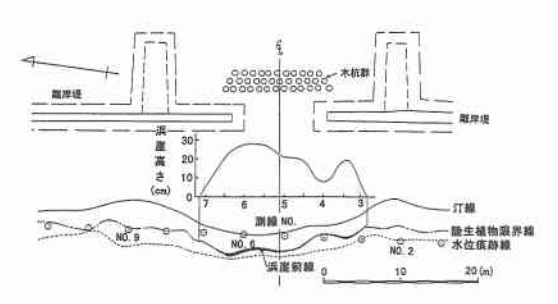


図-6 高水位痕跡線,浜崖の形成限界線および浜崖の高さの 沿岸分布

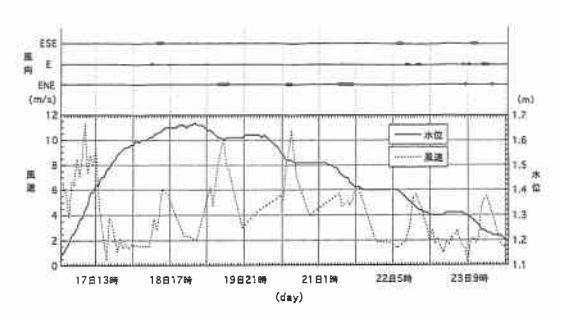


図-7 湖心観測塔における水位,風向風速の経時変化

を考慮すると,侵食の外力となったのは 9月 18日と 22日と考えられる。それぞれの日の水位は Y.P.+1.6 m および+1.4 m であり,そこに約 6 m/s の風が吹いたことがわかる。霞ヶ浦の湖心観測塔のデータについては宇多ほか(1987)が風速・吹送距離より有義波高・周期を算定する推算式を示しているので,それより計算すると, $H_{1/3}$ =約 16 cm, $T_{1/3}$ =3.1sとなる。したがってこれが侵食を引き起こしたと考えられる。また,観測された最高水位は図-3に示した痕跡水位と-致している。

#### 5.3 湖底底質の平面分布

沿岸方向に5m間隔、岸沖方向に2m間隔で採取した 底質資料をもとに、測線 No. 2, 6, 9 に沿う岸沖方向の粒 度組成をまとめたのが図-8である。開口部に位置する 測線 No.6 では  $y=8\sim12$  m 間に礫が出現し、その岸側は 広く砂に覆われている、これに対して、離岸堤背後の舌 状砂州を通る測線 No.2 では礫はほとんど出現せず、ほ とんど砂に覆われているが、北側の測線 No.9 では汀線 近くにまで礫が出現している。これは開口部の中心線に 対して時計回りの方向より卓越波が入射するため、 開口 部の北側の汀線付近では波浪の作用が南側と比較して大 きかったためと考えられる。このように離岸堤の岸側区 域において平面的にみて湖浜材料に大きな違いが見い出 されるので、採取資料より①投入した覆土、②シルト、 ③シルト+砂, ④砂, ⑤砂+礫, ⑥礫の5種類の材料で 覆われた範囲に区別した(図-9)。川砂はほぼ一様な粒 径特性を持つものが投入されたから、図-9の結果は波 の作用により底質の淘汰が進んだことを示す。離岸堤の 開口部には礫が集中的に現れており、その周囲には砂土 礫の範囲が広がるが、開口部の中心線近くのマコモ群落 のある場所では局所的にシルト+砂が分布する.これは, マコモ群落の消波効果が発揮されているためと考えられ る。この局所的な細粒分の区域を除けば、開口部の中心 線に対してその両側に砂+礫の範囲が舌状に伸びてい る。この分布形は開口部から波浪の侵入が著しい場所と

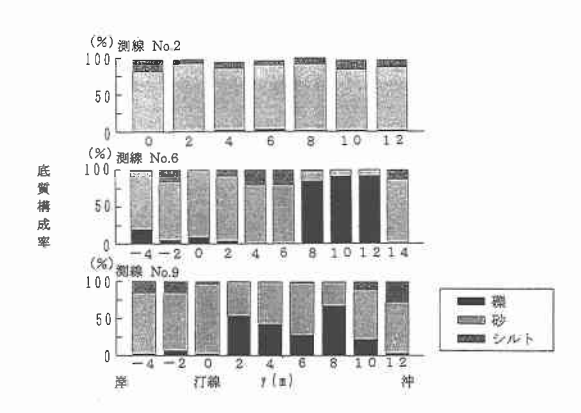


図-8 測線 No. 2, 6, 9 に沿う湖底材料の断面分布

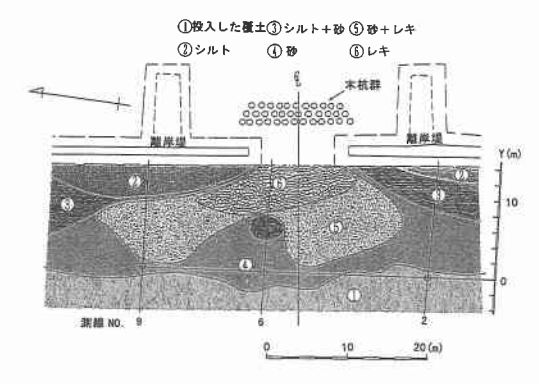


図-9 底質の平面分布

対応する。また興味あることに、舌状の区域は南側に対して北側の方が長く伸びており、明らかに南北非対称であるが、これは図-4に示した等深線図において北側の方が湾入度が大きかったこととも対応している。そしてこれらの点は、離岸堤の開口部中心線に対して反時計回りの方向から卓越波が入射することによりよく説明される。一方、離岸堤の岸側直近にはシルトまたはシルト+砂の範囲が広く伸びているが、そこは図-4に示したように、マコモの群落が見られた場所とほぼ対応している。すなわち波の作用が弱い場所では細粒分が堆積するとともに、そこはマコモの生育環境として望ましいためにマコモの群落形成が助長されたと考えられる。

### 6. 考 察

観測で得られた最高痕跡水位は Y.P.+1.6 m であり、この水位は霞ヶ浦の水位が流域での降雨により上昇したときの最高水位とほぼ同一である。最高痕跡水位の見られた場所は離岸堤の背後であり、その場所では小さな浮遊物が直線状に並んでいたことから明瞭に識別された。しかしながら、この付近では植生群落の中に水位痕跡が残されているのみであり、覆土の流出はなかった。一方、離岸堤の開口部では急な浜崖ができたため波浪の陸域への侵入は抑えられていたが、ここでは開口部からの波浪の直接的作用を受けたため、最大 28 cm 厚で覆土の流出が生じた。ここで、侵食・堆積各断面において推定初期

断面からの断面積変化量を求め、測線間隔を乗じると, 侵食土砂量は 48.0 m3, 堆積土砂量は 43.6 m3となる。す なわち侵食土砂量に対して堆積土砂量は約9%小さい が、侵食・堆積土砂量はほぼ均衡している。このことは Y.P.+1.3 m までの範囲に投入された川砂が、ほぼ沿岸 方向に移動して安定状態に達したこと, つまり川砂の投 入範囲は妥当であったことを示す。一方、開口部では土 を入れた部分が侵食されているから, この部分では砂の 投入範囲が狭かったことになり、今後は離岸堤の消波効 果を勘案して覆土の範囲を決めた方が良いと言える。す なわち, 離岸堤に守られた範囲では土でもよいが、水交 換のため必要とされる開口部では砂浜の範囲を陸側深く までとする必要がある。ただし、この議論はあくまで天 端高 Y.P.+1.3 m の離岸堤で湖水位が高々Y.P.+1.6 m を越えない場合であり、水位がさらに上昇する場合は離 岸堤の消波効果が低下するので、さらに陸側まで侵食が 進むことになる。その地先の波浪条件は前節で述べたよ うに推算できるので、波浪と水位両者を考えて検討する 必要がある。計画する場所が遮蔽されており水位が上昇 するのみであれば覆土の流出問題は生じないが, 波浪が 作用する場所では覆土の流出が危惧されるから、今後に おいては霞ヶ浦全体において波浪推算を行っておくこと が望ましい。

## 7. 結 論

本研究では,霞ヶ浦での現地実測をもとに覆土工周辺での波浪による土砂流出と,植生環境などについて考察したが,消波のための離岸堤の開口部の岸側の区域では,湖底地形,底質分布,水生植生の分布などが互いに密接な関係を持っていることが明らかにされた。湖の環境保全・保護のためこの種の情報は有効と考えられるので今後も検討を加えていきたいと考える。

#### 参考文献

宇多高明・赤穂俊作・今井武雄 (1987): 霞ヶ浦における風波に よる湖浜変形の実態,土木学会論文集,第 381 号/II-7, pp. 161-170.

奥山春季 (1974): 原色野外植物図譜 (3), 誠文堂新光社, pp. 123-124.